

# O quociente de Coxeter no grupo de tranças de Artin

**Paulo Cesar C. Santos Júnior**

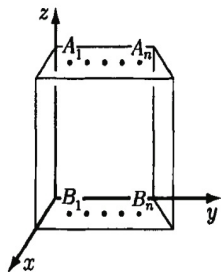
Orientador: **Oscar Ocampo**

Universidade Federal da Bahia- UFBA  
Instituto de Matemática e Estatística- IME  
Bolsista CAPES

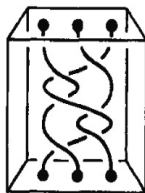
VII Encontro da Pós-Graduação em Matemática da UFBA

Novembro de 2019

# Tranças geométricas



(a) Figura 1

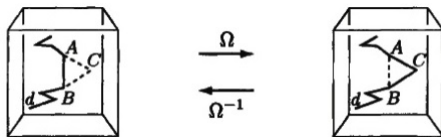


(b) Figura 2

Denotemos por  $\mathcal{B}_n$  o conjunto formado por todas as tranças com  $n$  cordas.

## O grupo de tranças de Artin

- Movimento elementar



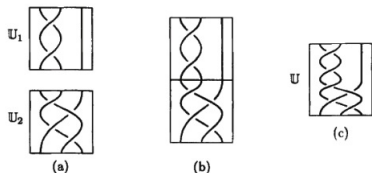
- Tranças equivalentes.

Denotaremos o conjunto de  $n$ -tranças não equivalentes por  $B_n$ .

## O grupo de tranças de Artin

### Produto de tranças

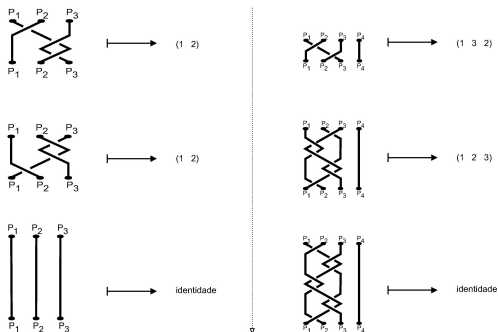
Chamaremos o **produto de  $\mathcal{U}_1$  com  $\mathcal{U}_2$** , denotado por  $\mathcal{U}_1\mathcal{U}_2$ , e é dada por concatenação, como ilustramos a seguir:



O conjunto  $B_n$  com a operação produto é um grupo conhecido como **grupo de  $n$ -tranças de Artin**.

## O grupo de tranças de Artin

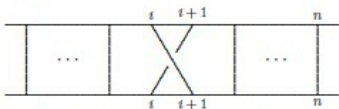
Seja  $\sigma$  o homomorfismo  $\sigma: B_n \rightarrow S_n$  que associa uma trança a uma permutação.



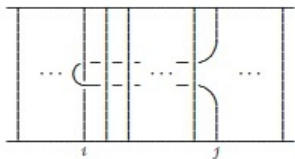
O  $\text{Ker}(\sigma) = P_n$  é chamado de **grupo de  $n$ -tranças puras de Artin**.

## O grupo de tranças de Artin

- Os geradores de Artin de  $B_n$  são denotados por  $\sigma_i$ , para  $1 \leq i \leq n - 1$ .



- Os geradores de Artin de  $P_n$  são denotados por  $A_{i,j} = \sigma_{j-1} \cdots \sigma_{i+1} \sigma_i^2 \sigma_{i+1}^{-1} \cdots \sigma_{j-1}^{-1}$ , para  $1 \leq i < j \leq n$ .



## O grupo de tranças de Artin

### Apresentação de Artin para $B_n$

O grupo de tranças de Artin  $B_n$  admite a seguinte apresentação clássica dada por Artin

$$B_n = \left\langle \sigma_1, \dots, \sigma_{n-1} \mid \begin{array}{l} \sigma_i \sigma_{i+1} \sigma_i = \sigma_{i+1} \sigma_i \sigma_{i+1} \\ \text{para } 1 \leq i \leq n-2; \\ \sigma_i \sigma_j = \sigma_j \sigma_i \text{ para } |i-j| \geq 2. \end{array} \right\rangle.$$

## O quociente $B_n/[P_n, P_n]$

Com essas definições obtemos a seguinte sequência exata curta

$$1 \rightarrow P_n \rightarrow B_n \xrightarrow{\sigma} S_n \rightarrow 1.$$

Ainda mais, denotando por  $[P_n, P_n]$  o subgrupo comutador de  $P_n$  temos a seguinte sequência exata curta

$$1 \rightarrow P_n/[P_n, P_n] \rightarrow B_n/[P_n, P_n] \xrightarrow{\bar{\sigma}} S_n \rightarrow 1.$$

**Gonçalves, Guaschi and Ocampo** (2017) mostraram os seguintes resultados

- Sejam  $\alpha \in B_n/[P_n, P_n]$  e  $\pi$  a permutação associada a  $\alpha^{-1}$ . Assim,  $\alpha A_{i,j} \alpha^{-1} = A_{\pi(i), \pi(j)}$  em  $P_n/[P_n, P_n]$ .
- O grupo  $B_n/[P_n, P_n]$  é um grupo cristalográfico.
- Sejam  $n \geq 3$  e  $k \geq 3$  um inteiro ímpar. Dois elementos de  $B_n/[P_n, P_n]$  de ordem  $k$  são conjugados se, e somente se, suas permutações associadas são conjugadas.



## O quociente de Coxeter em $B_n$

Coxeter mostrou que  $B_n(p) = B_n / \langle \sigma_1^p \rangle$  tem ordem finita se, e somente se,  $(n, p) \in \{(3, 3), (3, 4), (3, 5), (4, 3), (5, 3)\}$ .

- $n$  é o número de arestas de cada face;
- $p$  é o número de faces que se encontram em cada vértice.

Grupo	Ordem	Poliedro de Platão associado
$B_3(3)$	24	tetraedro
$B_3(4)$	96	hexaedro
$B_3(5)$	600	octaedro
$B_4(3)$	648	dodecaedro
$B_5(3)$	155520	icosaedro

## Quociente tipo-Coxeter em $B_n/[P_n, P_n]$

No que segue denotaremos por  $(B_n/[P_n, P_n])(p)$  o grupo  $B_n/[P_n, P_n]$  com a relação adicional  $\sigma_1^p = 1$  e  $(P_n/[P_n, P_n])(p)$  é o grupo  $P_n/[P_n, P_n]$  visto em  $(B_n/[P_n, P_n])(p)$ .

### Teorema 1 (Santos Júnior, Ocampo)

Sejam  $n \geq 3$  e  $k \in \mathbb{N}$ .

- (a) Se  $p = 2k + 1$ , então  $(B_n/[P_n, P_n])(p)$  é isomorfo a  $\mathbb{Z}_p$ .
- (b) Se  $p = 2k$ , então  $(B_n/[P_n, P_n])(p)$  tem ordem  $\frac{n(n-1)k}{2}n!$ .

**Prova (Ideia):** Para o item (a), note que  $\sigma_i^p = 1$  para  $i = 1, 2, \dots, n-1$ . Assim,  $\sigma_i = \sigma_i^{-2k} = A_{i, i+1}^{-k}$  para  $i = 1, 2, \dots, n-1$ . Portanto,  $[\sigma_i, \sigma_j] = 1$  para  $1 \leq i < j \leq n-1$ . Usando as relações de Artin temos,  $\sigma_i = \sigma_{i+1}$  para  $i = 1, 2, \dots, n-1$ .

## Quociente tipo-Coxeter em $B_n/[P_n, P_n]$

No que segue denotaremos por  $(B_n/[P_n, P_n])(p)$  o grupo  $B_n/[P_n, P_n]$  com a relação adicional  $\sigma_1^p = 1$  e  $(P_n/[P_n, P_n])(p)$  é o grupo  $P_n/[P_n, P_n]$  visto em  $(B_n/[P_n, P_n])(p)$ .

### Teorema 1 (Santos Júnior, Ocampo)

Sejam  $n \geq 3$  e  $k \in \mathbb{N}$ .

- (a) Se  $p = 2k + 1$ , então  $(B_n/[P_n, P_n])(p)$  é isomorfo a  $\mathbb{Z}_p$ .
- (b) Se  $p = 2k$ , então  $(B_n/[P_n, P_n])(p)$  tem ordem  $\frac{n(n-1)k}{2}n!$ .

**Prova (Ideia):** Para o item (b), podemos concluir que  $A_{i,i+1}^k = 1$  para todo  $1 \leq i \leq n$ . Consequentemente,  $A_{i,j}^k = 1$  para todo  $1 \leq i < j \leq n$ . Assim,  $(P_n/[P_n, P_n])(p)$  é isomorfo a  $\underbrace{\mathbb{Z}_k \times \cdots \times \mathbb{Z}_k}_{\frac{n(n-1)}{2}}$  em  $(B_n/[P_n, P_n])(p)$ . Com isso, o

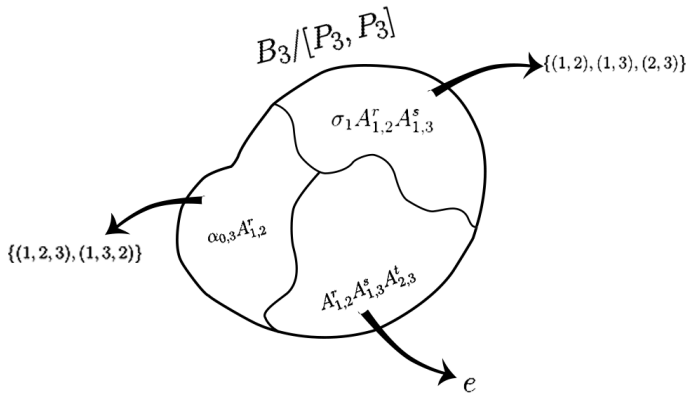
resultado segue. □

## Classes de conjugação dos elementos em $B_3/[P_3, P_3]$

- Sejam  $n \geq 3$  e  $k \geq 3$  um inteiro ímpar. Dois elementos de  $B_n/[P_n, P_n]$  de ordem  $k$  são conjugados se, e somente se, suas permutações associadas são conjugadas.

## Classes de conjugação dos elementos em $B_3/[P_3, P_3]$

- Sejam  $n \geq 3$  e  $k \geq 3$  um inteiro ímpar. Dois elementos de  $B_n/[P_n, P_n]$  de ordem  $k$  são conjugados se, e somente se, suas permutações associadas são conjugadas.



## Classes de conjugação dos elementos em $B_n/[P_n, P_n]$

Sejam  $\alpha_1, \alpha_2 \in S_n$  tais que  $\alpha_1, \alpha_2$  são conjugados em  $S_n$ . Considere  $\tilde{\alpha}_i \in B_n/[P_n, P_n]$  tal que  $\bar{\sigma}(\tilde{\alpha}_i) = \alpha_i$  para  $i = 1, 2$ . Os elementos

$$\tilde{\alpha}_1 = \prod_{1 \leq i < j \leq n} A_{i,j}^{a_{i,j}} \text{ e } \tilde{\alpha}_2 = \prod_{1 \leq i < j \leq n} A_{i,j}^{b_{i,j}}$$

são conjugados em  $B_n/[P_n, P_n]$ ?

### Proposição 1 (Santos Júnior, Ocampo)

Sejam  $\theta_1, \theta_2 \in S_n$  tais que  $\theta_1$  e  $\theta_2$  são conjugados em  $S_n$ . Considere  $\alpha_1, \alpha_2 \in B_n/[P_n, P_n]$  tal que  $\bar{\sigma}(\alpha_1) = \bar{\sigma}(\alpha_2) = \theta_2$ . As seguintes afirmações são equivalentes

- (i)  $\alpha_1$  e  $\alpha_2$  são conjugados em  $B_n/[P_n, P_n]$ ;
- (ii)  $\tilde{\lambda}\alpha_1\tilde{\lambda}^{-1}$  e  $\tilde{\lambda}\alpha_2\tilde{\lambda}^{-1}$  são conjugados em  $B_n/[P_n, P_n]$ ,

onde  $\tilde{\lambda} \in B_n/[P_n, P_n]$  é tal que  $\sigma(\tilde{\lambda}) = \lambda$  e  $\lambda\theta_2\lambda^{-1} = \theta_1$ .

## Classes de conjugação dos elementos em $B_n/[P_n, P_n]$

Se  $\theta$  é uma permutação em  $S_n$ , a ação por conjugação de  $B_n/[P_n, P_n]$  em  $P_n/[P_n, P_n]$  induz uma ação  $\langle \theta \rangle \times \mathcal{B} \rightarrow \mathcal{B}$  onde  $\mathcal{B} = \{A_{i,j} \mid 1 \leq i < j \leq n\}$  dada por

$$\theta^k(A_{i,j}) = A_{\theta^k(i), \theta^k(j)},$$

para  $1 \leq k \leq |\theta|$ . Nós denotamos por  $\mathcal{O}_\theta(A_{i,j})$  a órbita do elemento  $A_{i,j}$  e por  $T_\theta$  uma transversal para essa ação.

### Teorema 2 (Santos Júnior, Ocampo)

Sejam  $n \geq 3$ ,  $\beta \in B_n/[P_n, P_n]$  e  $\theta = \bar{\sigma}(\beta^{-1})$ . Os elementos  $\beta \prod_{1 \leq i < j \leq n} A_{i,j}^{a_{i,j}}$  e  $\beta \prod_{A_{r,s} \in T_\theta} A_{r,s}^{S_{r,s}}$  são conjugados em  $B_n/[P_n, P_n]$ , onde  $T_\theta$  é uma transversal da ação de  $\langle \theta \rangle$  no conjunto  $\mathcal{B}$  e  $S_{r,s} = \sum_{A_{i,j} \in \mathcal{O}_\theta(A_{r,s})} a_{i,j}$  para todo  $A_{r,s} \in T_\theta$ .

## Classes de conjugação dos elementos em $B_n/[P_n, P_n]$

**Prova (Ideia):** Seja  $X = \prod_{1 \leq i < j \leq n} A_{i,j}^{x_{i,j}}$ . Os elementos  $\beta \prod_{1 \leq i < j \leq n} A_{i,j}^{a_{i,j}}$  e  $\beta \prod_{A_{r,s} \in T_\theta} A_{r,s}^{S_{r,s}}$  são conjugados se,

$$X\beta \prod_{1 \leq i < j \leq n} A_{i,j}^{a_{i,j}} X^{-1} = \beta \prod_{A_{r,s} \in T_\theta} A_{r,s}^{S_{r,s}}.$$

A última equação é equivalente a

$$\prod_{1 \leq i < j \leq n} A_{i,j}^{x_{i,j}} \prod_{1 \leq i < j \leq n} A_{i,j}^{a_{\theta^{-1}(i), \theta^{-1}(j)}} \prod_{1 \leq i < j \leq n} A_{i,j}^{-x_{\theta^{-1}(i), \theta^{-1}(j)}} \prod_{A_{r,s} \in T_\theta} A_{\theta(r), \theta(s)}^{-S_{r,s}} = 1.$$

Essa equação é verdadeira se o seguinte sistema de equações possui solução

$$(1) \begin{cases} x_{i,j} + a_{\theta^{-1}(i), \theta^{-1}(j)} - x_{\theta^{-1}(i), \theta^{-1}(j)} = 0 \\ x_{\theta(r), \theta(s)} + a_{r,s} - x_{r,s} - S_{r,s} = 0. \end{cases}$$

para todo  $1 \leq i \neq \theta(r) < j \neq \theta(s) \leq n$  e para todo  $A_{r,s} \in T_\theta$ .



## Classes de conjugação dos elementos em $B_n/[P_n, P_n]$

**Prova (Ideia-Cont.):** Note que o sistema anterior tem solução se, e somente se, os seguintes subsistemas possuem solução

$$(2) \begin{cases} x_{\theta^t(r), \theta^t(s)} + a_{\theta^{-(1+m-t)}(r), \theta^{-(1+m-t)}(s)} - x_{\theta^{-(1+m-t)}(r), \theta^{-(1+m-t)}(s)} = 0 \\ k_{\theta(r), \theta(s)} + a_{r,s} - k_{r,s} - S_{r,s} = 0. \end{cases}$$

para todo  $2 \leq t \leq m$  e para todo  $\{r, s\}$  tal que  $A_{r,s} \in T_\theta$  onde  $m = |\mathcal{O}_\theta(A_{r,s})|$ .  
Seja  $A_{r,s} \in T_\theta$  e considere os elementos

$e_1 = A_{r,s}, e_2 = A_{\theta(r), \theta(s)}, \dots, e_m = A_{\theta^{m-1}(r), \theta^{m-1}(s)}$  onde  $m = |\mathcal{O}_\theta(A_{r,s})|$ .

Portanto, a matriz de permutação da órbita de  $A_{r,s}$  pela ação de  $\langle \theta \rangle$  com respeito a base ordenada  $\{e_1, e_2, \dots, e_m\}$  é dada pela matriz  $M_{r,s} = (k_{ij})_{m \times m}$

$$k_{ij} = \begin{cases} 1, & \text{se } (i, j) = (t, t-1), \text{ para todo } t = 2, 3, \dots, m; \\ 0, & \text{caso contrário.} \end{cases}$$

## Classes de conjugação dos elementos em $B_n/[P_n, P_n]$

**Prova (Ideia-Cont.):** Assim, podemos escrever os subsistemas de equações como segue

$$(I) \quad [I_{r,s} - M_{r,s}] \begin{pmatrix} x_{r,s} \\ x_{\theta(r),\theta(s)} \\ \vdots \\ x_{\theta^{m-1}(r),\theta^{m-1}(s)} \end{pmatrix} = \begin{pmatrix} -a_{\theta^{-1}(r),\theta^{-1}(s)} \\ -a_{r,s} + S_{r,s} \\ \vdots \\ -a_{\theta^{m-2}(r),\theta^{m-2}(s)} \end{pmatrix}$$

onde  $I_{r,s} = (Id)_{m \times m}$ . Como consequência (I) possui solução se, e somente se,  $S_{r,s} = \sum_{A_{i,j} \in \mathcal{O}_\theta(A_{r,s})} a_{i,j}$ . □

## Classes de conjugação dos elementos em $B_n/[P_n, P_n]$

### Exemplo

Seja  $\sigma_1\sigma_2 \in B_6/[P_6, P_6]$  e considere  $\bar{\sigma}((\sigma_1\sigma_2)^{-1}) = \theta = (1, 2, 3)$ . Note que o elemento  $\sigma_4\sigma_5$  é um elemento do centralizador de  $\sigma_1\sigma_2$ . Considere a transversal  $T_\theta = \{A_{1,2}, A_{1,4}, A_{1,5}, A_{1,6}, A_{4,5}, A_{4,6}, A_{5,6}\}$ ,  $X = \prod_{1 \leq i < j \leq 6} A_{i,j}^{x_{i,j}}$  e  $\bar{\sigma}(\sigma_4\sigma_5) = C$ .

Temos

$$X(\sigma_4\sigma_5)\sigma_1\sigma_2 \prod_{A_{t,q} \in T_\theta} A_{t,q}^{a_{t,q}} (\sigma_4\sigma_5)^{-1} X^{-1} = \sigma_1\sigma_2 \prod_{A_{t,q} \in T_\theta} A_{t,q}^{b_{t,q}},$$

se, e somente se,

$$X \prod_{A_{t,q} \in T_\theta} A_{\theta(C^{-1}(t)), \theta(C^{-1}(q))}^{a_{t,q}} \sigma_1\sigma_2 X^{-1} (\sigma_1\sigma_2)^{-1} \prod_{A_{t,q} \in T_\theta} A_{\theta(t), \theta(q)}^{-b_{t,q}} = 1.$$

## Classes de conjugação dos elementos em $B_n/[P_n, P_n]$

### Teorema 3 (Santos Júnior, Ocampo)

Sejam  $n \geq 3$ ,  $\beta \in B_n/[P_n, P_n]$  e  $\theta = \sigma(\beta^{-1})$ . Considere  $\tilde{C} \in \bar{\sigma}^{-1}(C_{S_n}(\theta))$  e fixe  $\sigma(\tilde{C}) = C$ . Se  $\tilde{C}\beta\tilde{C}^{-1} = \beta \prod_{1 \leq i < j \leq n} A_{i,j}^{c_{i,j}}$ , os elementos  $\beta \prod_{A_{t,q} \in T_\theta} A_{t,q}^{a_{t,q}}$  e  $\beta \prod_{A_{t,q} \in T_\theta} A_{t,q}^{b_{t,q}}$  são conjugados se, e somente se,

(i)  $\sum_{A_{i,j} \in \mathcal{O}_\theta(A_{t,q})} c_{i,j} + a_{C(t), C(q)} = b_{t,q}$ , se  $A_{C^{-1}(t), C^{-1}(q)} \notin \mathcal{O}_\theta(A_{t,q})$  para  $A_{t,q} \in T_\theta$ .

(ii)  $\sum_{A_{i,j} \in \mathcal{O}_\theta(A_{t,q})} c_{i,j} + a_{t,q} = b_{t,q}$ , se  $A_{C^{-1}(t), C^{-1}(q)} \in \mathcal{O}_\theta(A_{t,q})$  para  $A_{t,q} \in T_\theta$ ;

### Corolário 1 (Santos Júnior, Ocampo)

Seja  $n \geq 3$ ,  $\beta \in B_n/[P_n, P_n]$  tal que  $\bar{\sigma}(\beta^{-1}) = \theta = (1, 2, \dots, n)$ . Os elementos  $\beta \prod_{A_{t,q} \in T_\theta} A_{t,q}^{a_{t,q}}$  e  $\beta \prod_{A_{t,q} \in T_\theta} A_{t,q}^{b_{t,q}}$  são conjugados se, e somente se,  $a_{t,q} = b_{t,q}$  para  $A_{t,q} \in T_\theta$ .

## Referências principais

- 1 COXETER, H. S. M. *Factor groups of the braid group*. In: Proc. Fourth Canadian Math. Congress, Banff. **1957**. p. 95-122.
- 2 GONÇALVES, Daciberg Lima; GUASCHI, John; OCAMPO, Oscar. *A quotient of the Artin braid groups related to crystallographic groups*. Journal of Algebra, v. 474, p. 393-423, **2017**.
- 3 MURASUGI, Kunio; KURPITA, Bohdan. *A study of braids*. Springer Science & Business Media, **2012**.
- 4 SANTOS JÚNIOR, Paulo Cesar Cerqueira. *Um quociente do grupo de tranças de Artin relacionado aos grupos cristalográficos*, Dissertação (Mestrado em Matemática)- Universidade Federal da Bahia, **2019**.

OBRIGADO!

---